

# Befüllung eines kegelförmigen Tanks

---

STEFAN KAMP 18718

FLORIAN WEGE 15856

MARTIN WEBER 19656

# Inhalt

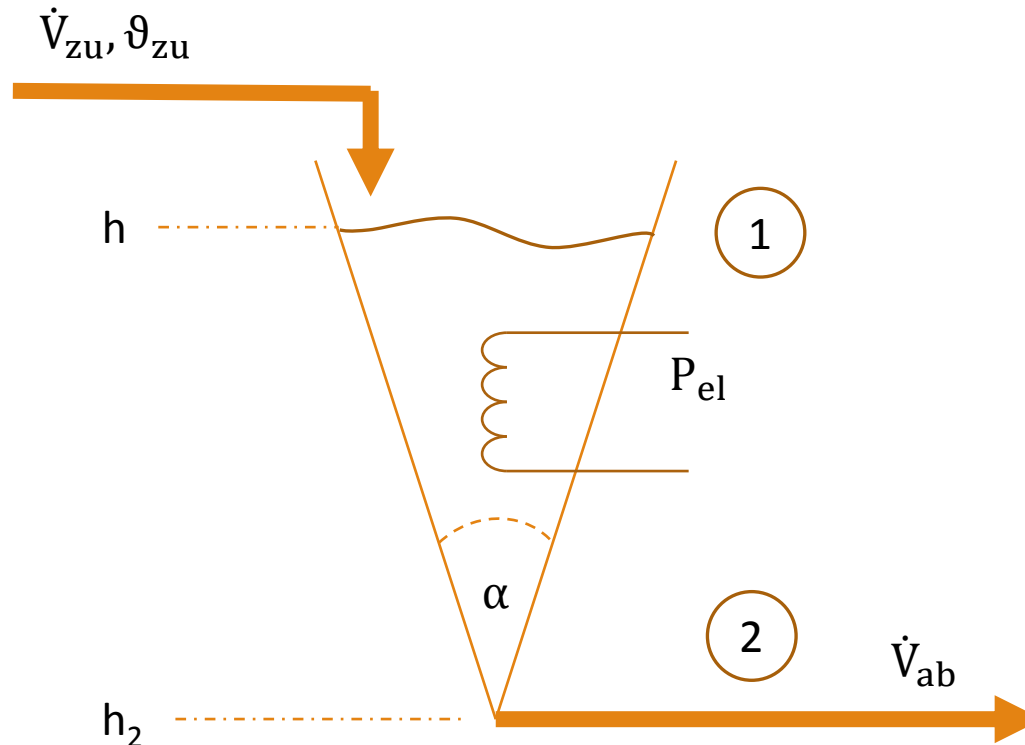
---

- Aufgabenstellung
- Herangehensweise
- Probleme und Lösungen
- Vorführung
- Ausblick

# Aufgabenstellung

- mathematisches und simulationsfähiges Modell für einen mit einer elektrischen Heizung beheizten kegelförmigen Behälter

$\dot{V}_{zu}$  ... Volumenstrom Zufluss  
 $\vartheta_{zu}$  ... Temperatur Zufluss  
 $\dot{V}_{ab}$  ... Volumenstrom Abfluss  
 $P_{el}$  ... Elektr. Leistung Heizung  
 $\alpha$  ... Kegelwinkel  
 $h$  ... Füllhöhe  
 $h_2$  ... Nullhöhe  
 $p_1$  ... Druck auf Füllhöhe  
 $p_2$  ... Druck auf Nullhöhe  
 $\rho$  ... Dichte des Mediums



$$\begin{aligned}p_1 &\approx p_2 \\p_1 \cdot p_2 &\rightarrow 0 \\h_2 &= 0 \\\rho &= 1 = \text{konst.}\end{aligned}$$

# Herangehensweise - Massenbilanz

$$\frac{dm}{dt} = \dot{m}_{zu} - \dot{m}_{ab}$$

$$\rho \cdot \frac{dV}{dt} = \rho \cdot \dot{V}_{zu} - \rho \cdot \dot{V}_{ab}$$

$$\text{mit: } \dot{V}_{ab} = v \cdot A_R$$

Ansatz nach Bernoulli:

$$\cancel{p_1} + \rho \cdot g \cdot h_1 + \cancel{\frac{\rho}{2} \cdot v_1^2} = \cancel{p_2} + \rho \cdot g \cdot h_2 + \frac{\rho}{2} \cdot v_2^2$$

$$v = \sqrt{2 \cdot g \cdot h}$$

$\dot{m}_{zu}$  ... Massenstrom Zufluss  
 $\dot{m}_{ab}$  ... Massenstrom Abfluss  
 $A_R$  ... Rohrquerschnittsfläche  
 $v$  ... Geschwindigkeit Abfluss  
 $g$  ... Fallbeschleunigung  
 $V$  ... Volumen des Mediums im Tank  
 $r$  ... Radius des Kegels (abhängig von Füllhöhe)

$$V = \frac{1}{3} \cdot \pi \cdot r^2 \cdot h = \frac{1}{3} \cdot \tan^2 \left( \frac{\alpha}{2} \right) \cdot h^3$$

$$\text{mit: } r^2 = \tan^2 \left( \frac{\alpha}{2} \right) \cdot h^2$$

# Herangehensweise - Füllhöhe

---

$$\dot{V} = \dot{V}_{zu} - \dot{V}_{ab}$$

$$\pi \cdot \tan^2\left(\frac{\alpha}{2}\right) \cdot h^2 \cdot \dot{h} = \dot{V}_{zu} - \sqrt{2 \cdot g \cdot h} \cdot A_R$$

$$\frac{dh}{dt} = \frac{\dot{V}_{zu} - \sqrt{2 \cdot g \cdot h} \cdot A_R}{\pi \cdot \tan^2\left(\frac{\alpha}{2}\right) \cdot h^2}$$

# Herangehensweise - Enthalpiebilanz

$$\frac{dH}{dt} = \dot{H}_{zu} - \dot{H}_{ab} - \dot{H}_O - \dot{H}_M + P_{el}$$

mit:  $\dot{H} = c_p \cdot \dot{m} \cdot \vartheta$

$$\frac{c_p \cdot d(m \cdot \vartheta)}{dt} = c_p \cdot \dot{m}_{zu} \cdot \vartheta_{zu} - c_p \cdot \dot{m}_{ab} \cdot \vartheta - \dot{Q}_O - \dot{Q}_M + P_{el}$$

$$c_p \cdot \dot{m} \cdot \vartheta + c_p \cdot m \cdot \dot{\vartheta} = c_p \cdot \dot{m}_{zu} \cdot \vartheta_{zu} - c_p \cdot \dot{m}_{ab} \cdot \vartheta - \dot{Q}_O - \dot{Q}_M + P_{el}$$

$$c_p \cdot \dot{m}_{zu} \cdot \vartheta - \cancel{c_p \cdot \dot{m}_{ab} \cdot \vartheta} + c_p \cdot m \cdot \dot{\vartheta} = c_p \cdot \dot{m}_{zu} \cdot \vartheta_{zu} - \cancel{c_p \cdot \dot{m}_{ab} \cdot \vartheta} - \dot{Q}_O - \dot{Q}_M + P_{el}$$

$$c_p \cdot m \cdot \dot{\vartheta} = c_p \cdot \dot{m}_{zu} \cdot (\vartheta_{zu} - \vartheta) - \dot{Q}_O - \dot{Q}_M + P_{el}$$

mit:  $m = \rho \cdot V(h)$

$$\frac{d\vartheta}{dt} = \frac{\dot{m}_{zu} \cdot (\vartheta_{zu} - \vartheta)}{\rho \cdot V(h)} - \frac{\dot{Q}_O + \dot{Q}_M}{c_p \cdot \rho \cdot V(h)} + \frac{P_{el}}{c_p \cdot \rho \cdot V(h)}$$

$c_p$  ... spezifische Wärmekapazität des Mediums  
 $\vartheta$  ... Aktuelle Temperatur des Mediums  
 $m$  ... Aktuelle Masse des Mediums  
 $\dot{H}$  ... Enthalpieänderung  
 $\dot{H}_{zu}$  ... Enthalpiedelta durch Zufluss  
 $\dot{H}_{ab}$  ... Enthalpiedelta durch Abfluss  
 $\dot{H}_O$  ... Enthalpiedelta über Oberfläche des Mediums  
 $\dot{H}_M$  ... Enthalpiedelta über Mantelfläche des Mediums  
 $\dot{Q}_O$  ... Wärmestrom über Oberfläche  
 $\dot{Q}_M$  ... Wärmestrom über Mantelfläche

# Herangehensweise - weitere Formeln

---

*allgemein:*  $\dot{Q} = K \cdot A(h) \cdot (\vartheta - \vartheta_u)$

$$A_M = \pi \cdot r \cdot s$$

$$A_M = \pi \cdot \frac{\tan\left(\frac{\alpha}{2}\right) \cdot h^2}{\cos\left(\frac{\alpha}{2}\right)}$$

*mit:*  $r = \tan\left(\frac{\alpha}{2}\right) \cdot h$

*und:*  $s = \frac{h}{\cos\left(\frac{\alpha}{2}\right)}$

$$A_O = \pi \cdot r^2$$

$$A_O = \pi \cdot \tan^2\left(\frac{\alpha}{2}\right) \cdot h^2$$

$\dot{Q}$  ... Wärmestrom  
 $K$  ... Wärmedurchgangskoeffizient  
 $\vartheta_u$  ... Umgebungstemperatur  
 $A_M$  ... Mantelfläche  
 $A_O$  ... Oberfläche  
 $s$  ... Länge der Diagonale der Kegelwand

# Probleme und Lösungen I

---

- zunächst eingesetzter stetiger PI-Regler ließ sich nicht auto-tunen  
→ Parameter wurden manuell eingestellt
- nachfolgend implementierter mehrstufiger Regler verursachte starkes flackern am Ausgang  
→ Wurde mit Hysterese und Verzögerungseigenschaften versehen
- GUI Editor („guide“) ziemlich mangelhaft:
  - nur eine kleine Widget-Auswahl
  - der Property-Inspektor aktualisiert sehr langsam
  - Kombination aus asynchronem Verhalten und geringer Performanz dehnte Entwicklungszeit deutlich

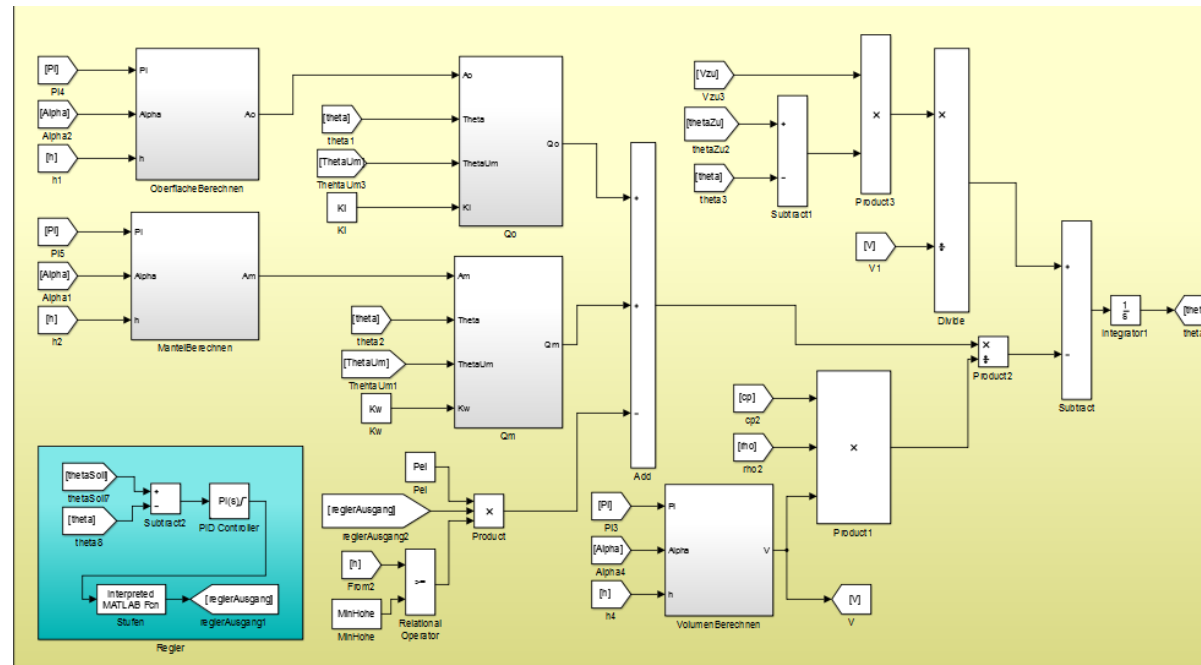


# Probleme und Lösungen II

---

- Übertragung von Variablenwerten aus GUI-Code erwies sich als schwierig, da Daten nicht direkt in den Base-Workspace geschrieben werden  
→ zur Kommunikation mit Simulink extra Funktionsaufrufe erforderlich („assignin“)
- Matlab lässt nativ nur den Export einer einzigen Figur in eine PDF-Datei zu, Komposition nicht direkt möglich  
→ extra Library-Scripts integriert („append\_pdfs“)

# Vorführung



# Ausblick

---

- Je nach Parametern dauert die Einregelung unterschiedlich lang
- Simulationszeit ist aktuell noch statisch:
  - ineffektiv, sollte das statische Gleichgewicht früher erreicht werden
  - sollte Versuch mehr Zeit benötigen bricht dieser vorzeitig ab
  - Simulationszeit von einer berechneten Prognose abhängig zu machen oder zu prüfen, ob sich die Deltas nicht mehr signifikant ändern
- im Verlauf parallel zu Simulink Darstellung des Tankinhaltes im GUI
  - asynchrone Kommunikation mit dem Simulationsmodell